
Inhalt der Vorlesung Physik A2 / B2

3. Wärmelehre

Druck und Temperatur: Das ideale Gas

Wärmemenge, spezifische Wärme

Die Hauptsätze der Wärmelehre

4. Elektrizitätslehre, Elektrodynamik

Die Ladung und elektrostatische Felder

- SEMESTERENDE -

Elektrischer Strom

Magnetische Felder und Magnetostatik

Zeitlich veränderliche Felder, Elektrodynamik

Wechselstromnetzwerke

Die Maxwellschen Gleichungen

Elektromagnetische Wellen und Strahlung

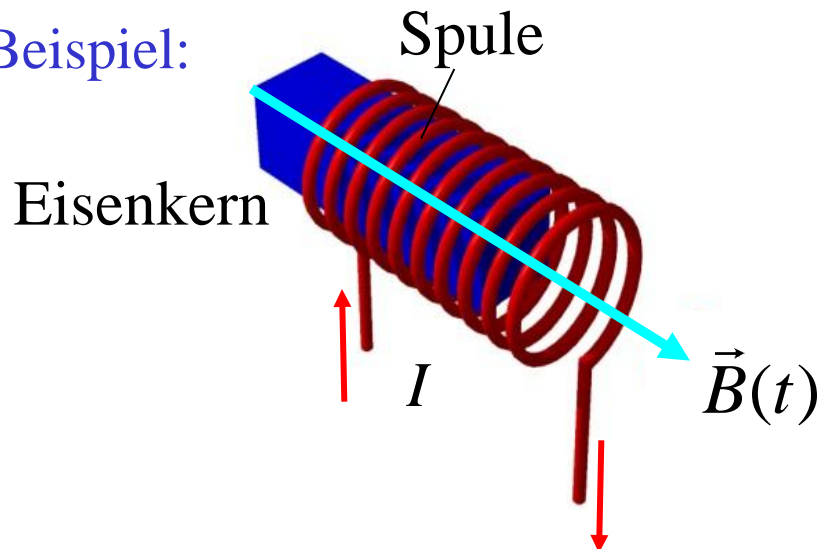
Relativität der Felder – Relativitätstheorie

Wirbelströme

In Leitern induzierte Ringspannungen erzeugen **Wirbelströme** (englisch: „eddy currents“), die wegen endlicher Leitfähigkeit des Materials zu ohmschen Verlusten führt.

Wirbelstromverluste stellen ein großes technisches und wirtschaftliches Problem dar.

Beispiel:



Bei Wechselstrombetrieb einer Spule mit Eisenkern induziert das sich ändernde Magnetfeld Wirbelströme im Eisenkern.

Transformatorverluste sind volkswirtschaftlich außerordentlich bedeutend !

Abhilfe:

- Materialien mit guten magnetischen Eigenschaften, aber schlechter Leitfähigkeit (Ferrite)
- geschlitzte Materialien
- Materialien aus isolierten Blechen (Blechkerne)

Experiment: *Das Waltenhofen-Pendel*

Ein Pendel, an dem ein Leiter befestigt ist, wird in einem Magnetfeld stark abgebremst. Der Grund dafür ist das durch Wirbelströme verursachte Magnetfeld im Leiter (\Rightarrow „Wirbelstrombremse“).

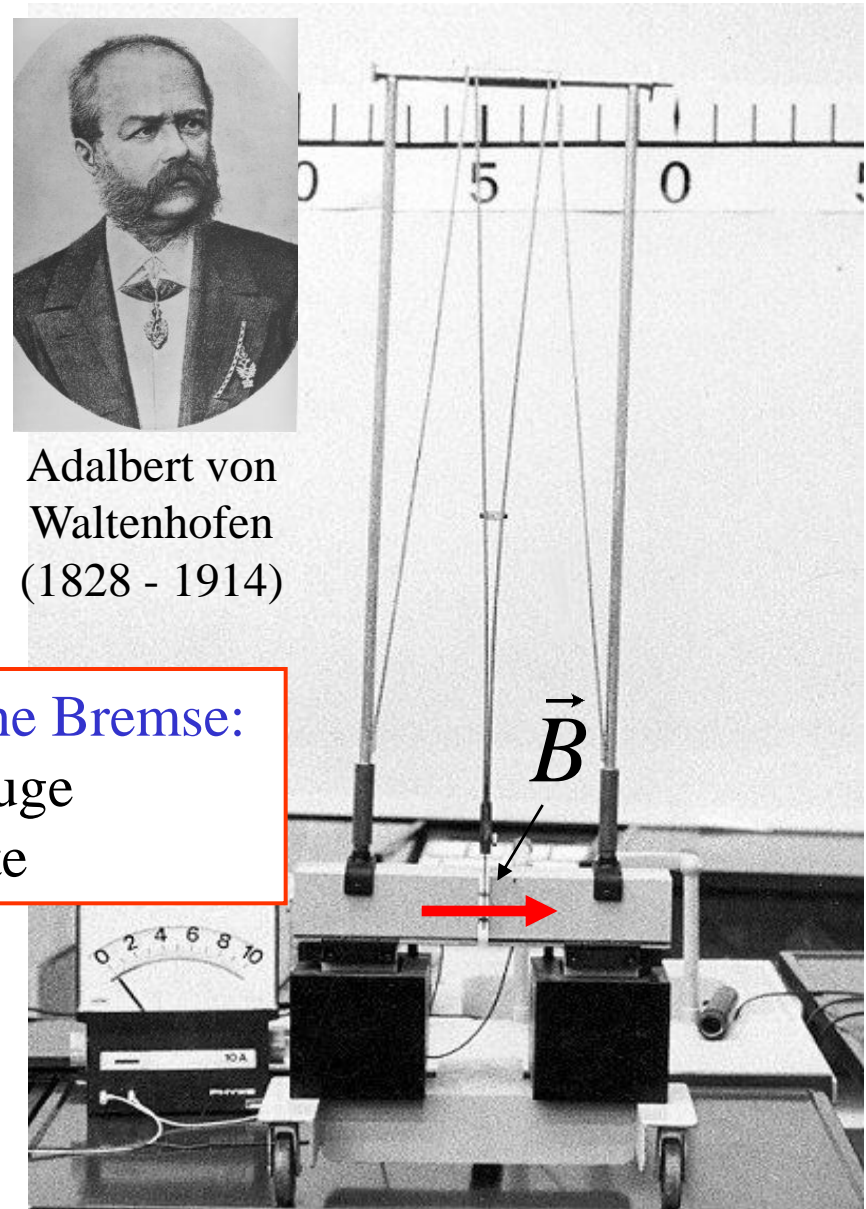
Die Bremskraft ist $\sim v$!!!

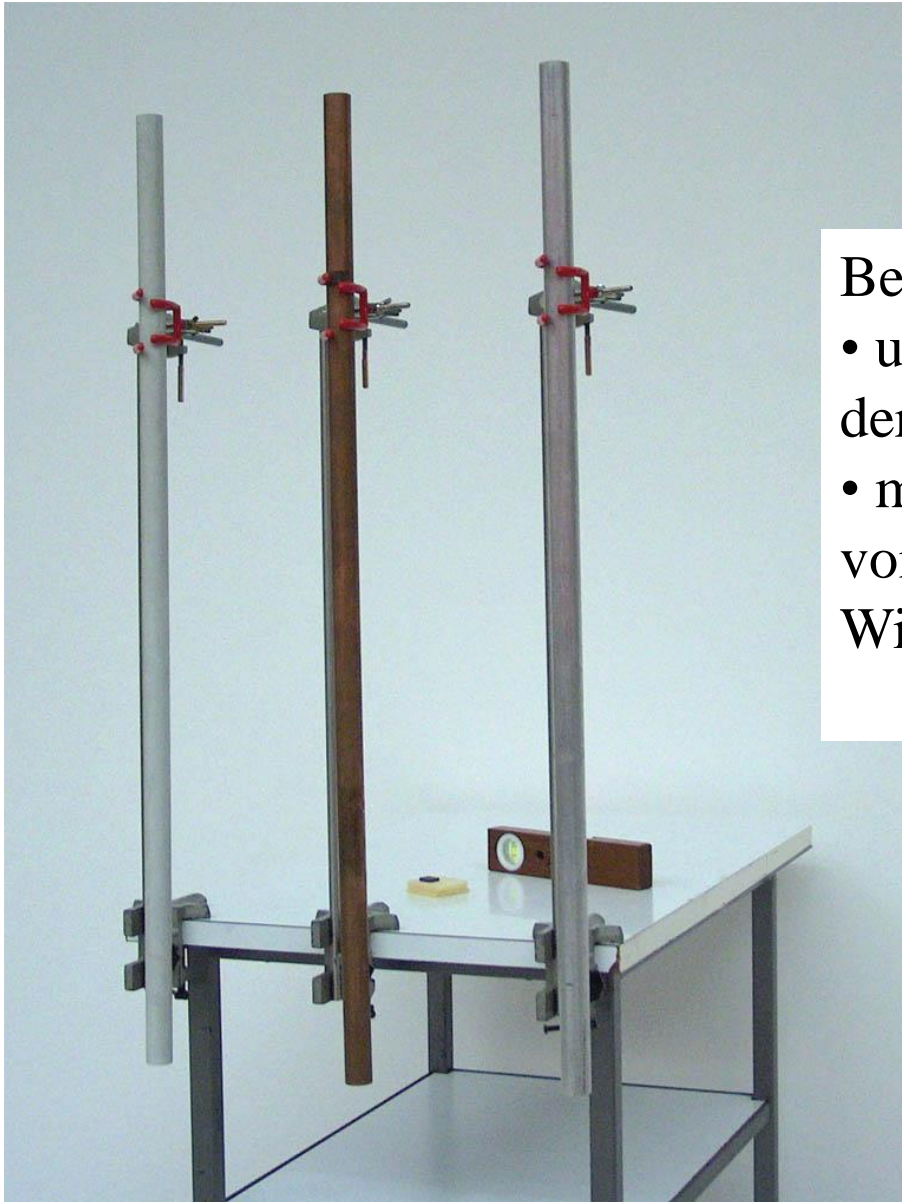


Adalbert von
Waltenhofen
(1828 - 1914)

elektrodynamische Bremse:

- Schienenfahrzeuge
- Messinstrumente



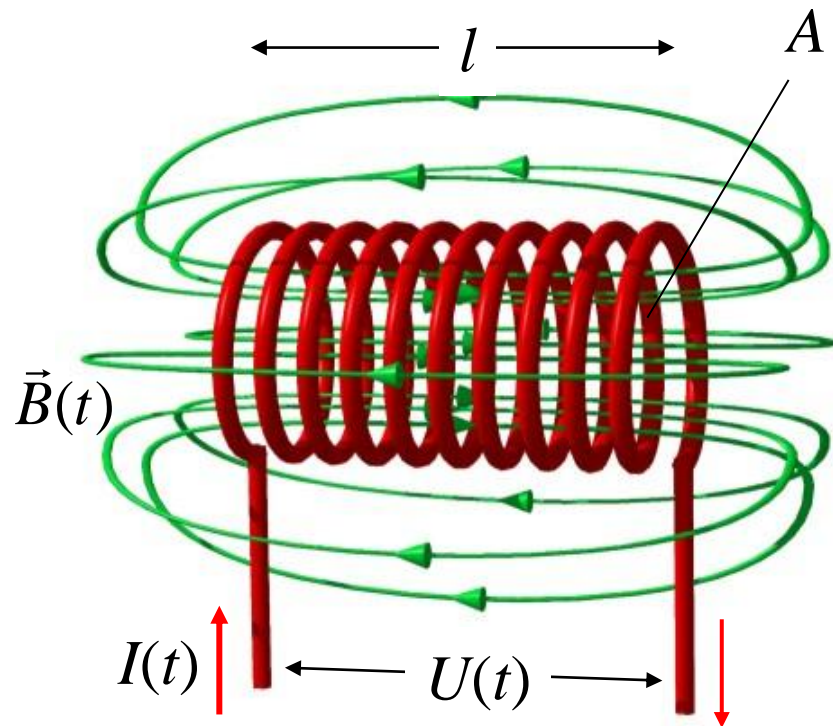


Experiment: *Fallversuche unter Wirbelstromdämpfung*

Beobachtung:

- unmagnetische Fallkörper fallen ungehindert (freier Fall).
- magnetische Fallkörper unterliegen abhängig von der Leitfähigkeit des Rohrmaterials einer Wirbelstrom-“Hemmung“.

Die „Hemmkraft“ durch Wirbelströme ist proportional zur Geschwindigkeit v !
Es stellt sich eine konstante Fallgeschwindigkeit ein.

Beispiel: Induktivität einer Spule

Für das B -Feld im Inneren einer langen Spule gilt:

$$B(t) = \mu_0 \frac{n \cdot I(t)}{l}$$

Durch Einbringen von magnetisierbarem Material (etwa Eisen) kann das B -Feld

bei gleichem Strom I um den Faktor μ_r , die dimensionslose **relative Permeabilität**, gesteigert werden, also

$$B(t) = \mu_0 \mu_r \frac{n \cdot I(t)}{l}$$

mit dem magnetischen Fluss

$$\Phi(t) = \mu_0 \mu_r A \frac{n \cdot I(t)}{l}$$

Hier ist A die Querschnittsfläche der Spule.

Da das Feld zeitlich veränderlich ist, entsteht eine Induktionsspannung

$$U_{ind}(t) = -n\dot{\Phi} = -\dot{\Phi}_{ind} = -L \cdot \dot{I}(t)$$

$$U_{ind}(t) = -\mu_0 \mu_r A \frac{n^2}{l} \cdot \dot{I}(t)$$

Für die **Induktivität** (genauer: die **Selbstinduktivität**) der Spule erhalten wir

$$L_{\text{Spule}} = \mu_0 \mu_r A \frac{n^2}{l}$$

Beispiel:

Eine Luftspule habe die Länge $l = 10$ cm und den Durchmesser $D = 5$ cm. Sie hat $n = 50$ Windungen. Wie groß ist die Induktivität L ?

Die Querschnittsfläche A ist dann:

$$A = \pi \left(\frac{D}{2} \right)^2 = 1.963 \cdot 10^{-3} \text{ m}^2$$

Mit $\mu_0 = 4\pi \cdot 10^{-7} \text{ Vs/Am}$ ergibt sich dann:

$$L = \frac{\mu_0 A N^2}{l} = 6.17 \cdot 10^{-5} \text{ H} = 61.7 \mu\text{H}$$

1 Henry ist also eine recht große Einheit.

Joseph Henry
(1766-1844)

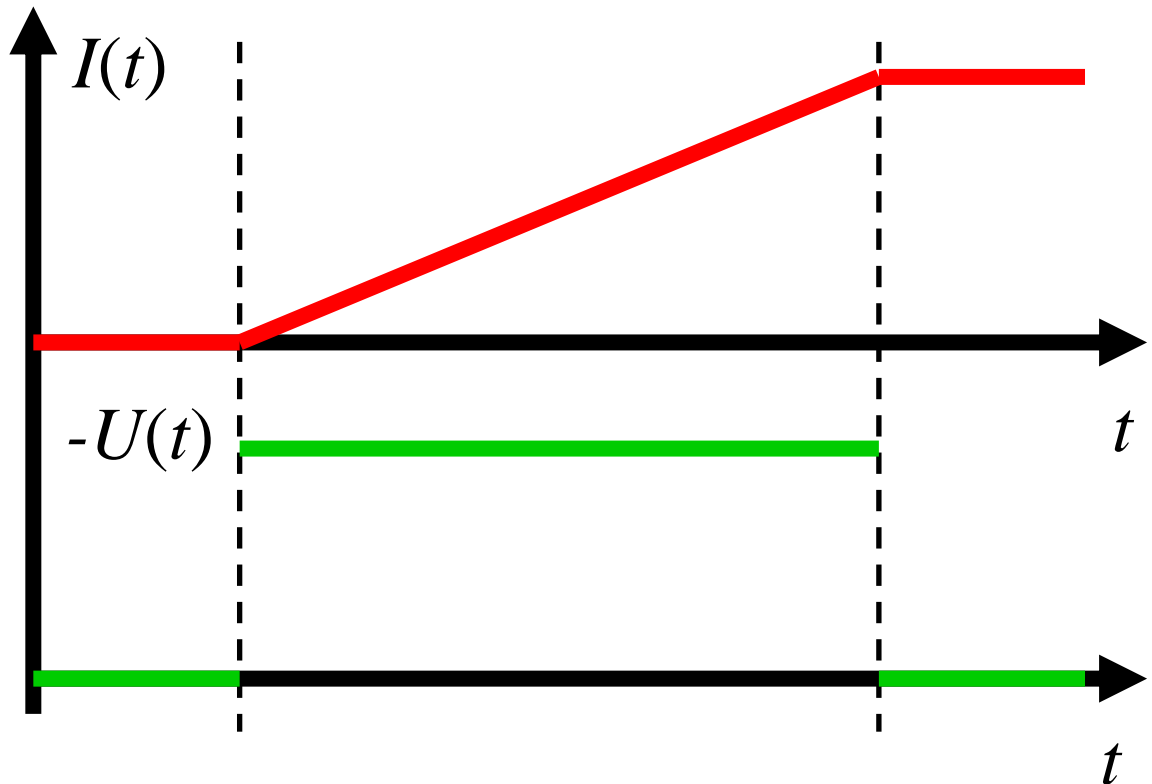


Der zeitlich variable Strom $I(t)$ durch die Spule bewirkt über das Phänomen der **Selbstinduktion** eine Spannung $U(t)$ zwischen den Anschlüssen der Spule:

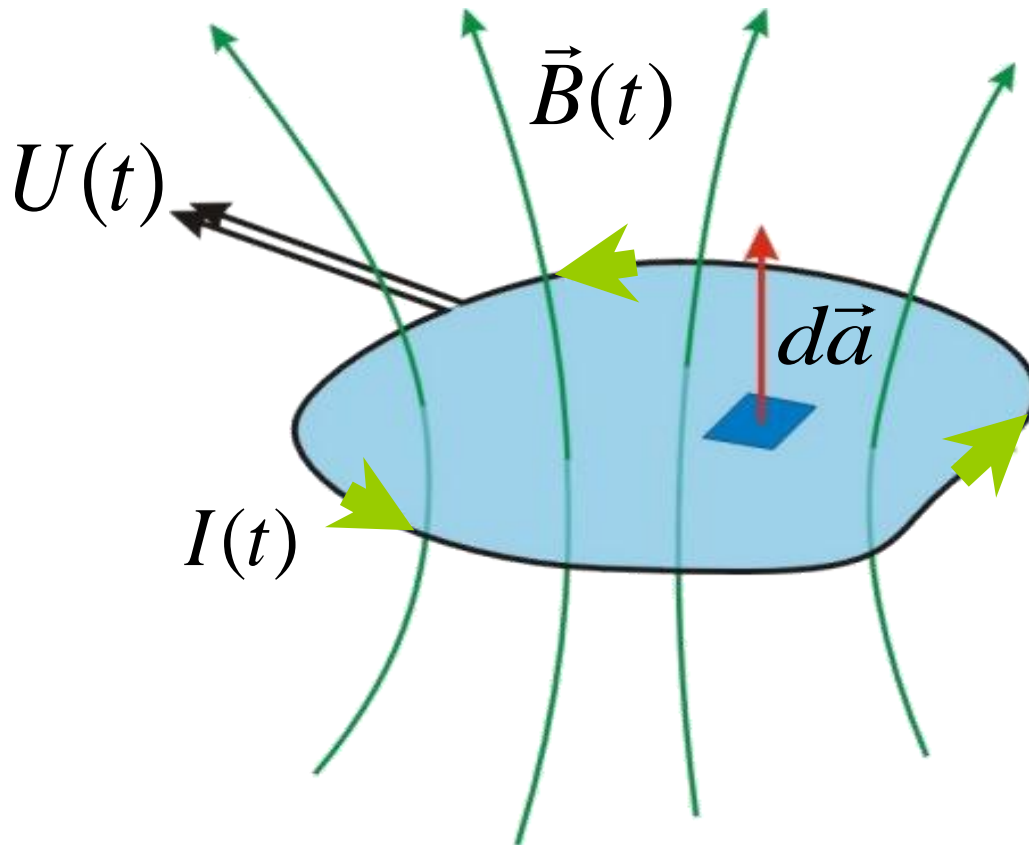
$$U(t) = -L \frac{dI}{dt}$$

Beispiel:

Steigt der Strom I linear in der Zeit t an, so ist die induzierte Spannung $U(t)$ konstant.



Der Begriff der *Selbstinduktion* lässt sich auch für eine beliebige Leiterschleife verallgemeinern.



Durch jeden Stromkreis greift ein Magnetfluss, der von seinem eigenen Magnetfeld herrührt. Da das Magnetfeld proportional zum Strom $I(t)$ ist, gilt:

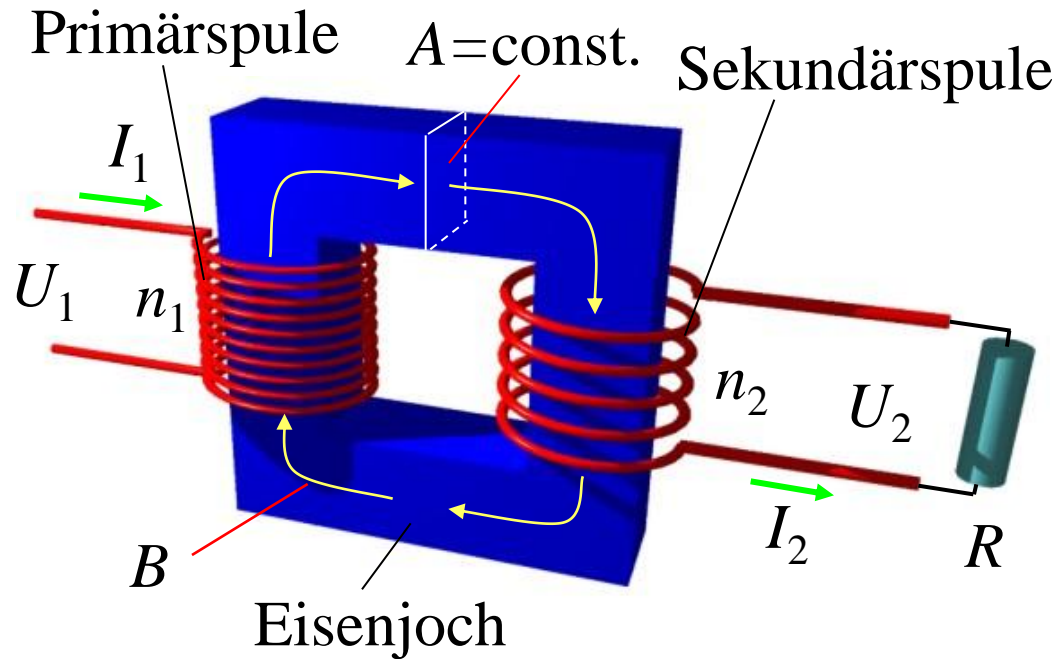
$$\Phi = \iint \vec{B}(t) \cdot d\vec{a} = \frac{L}{n} I(t)$$

Hierbei ist L die Selbstinduktion der Leiterschleife.

Es ergibt sich also wieder mit n als Anzahl der Windungen:

$$\begin{aligned} U_{ind}(t) &= -n\dot{\Phi} = \\ &= -\dot{\Phi}_{ind} = -L \cdot \dot{I}(t) \end{aligned}$$

Transformator



Ein Transformator besteht im wesentlichen aus drei Komponenten:

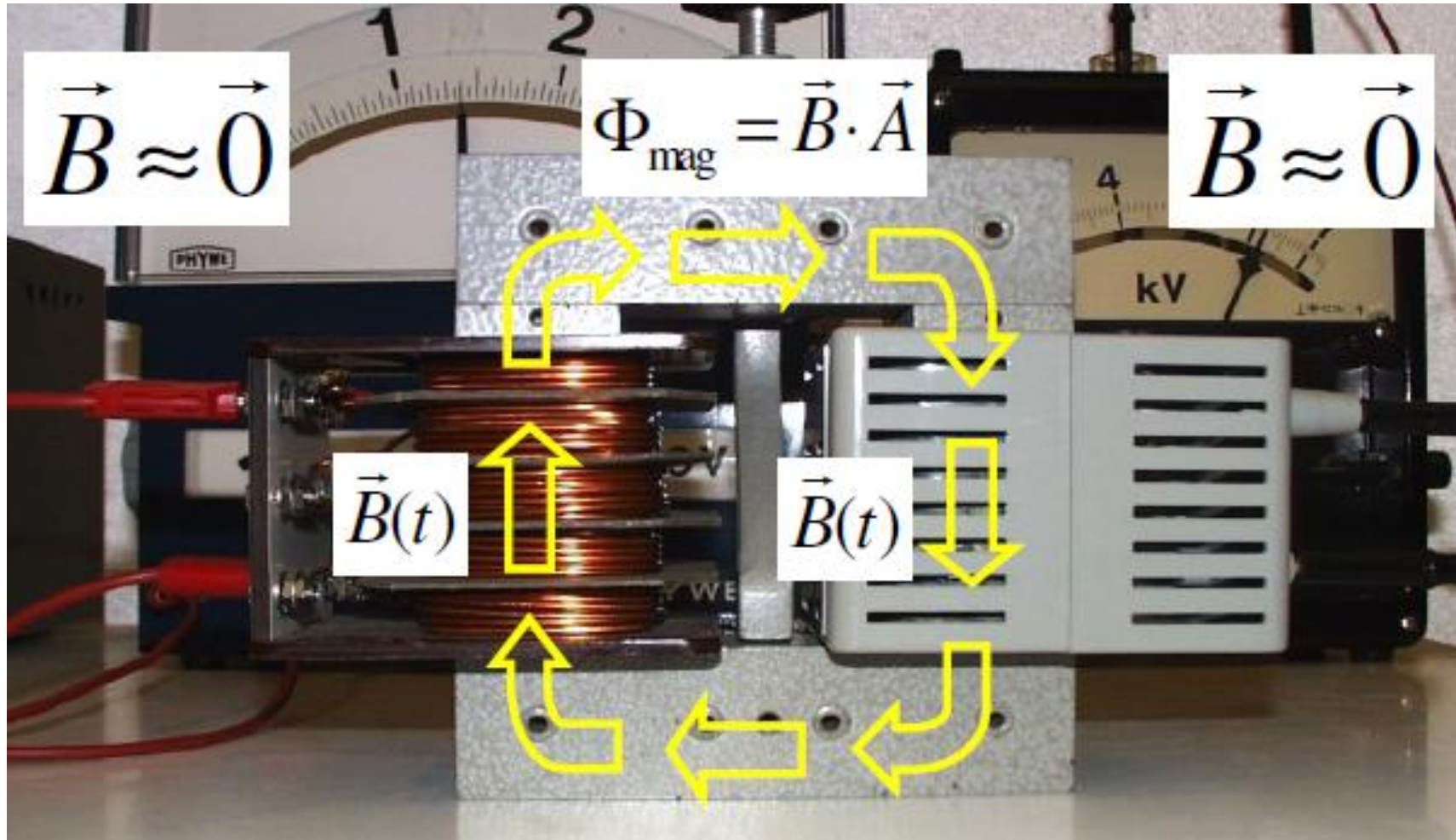
- der Primärspule
- dem Eisenjoch
- der Sekundärspule

Magnetische Feldlinien bevorzugen Bereiche, in denen μ_r sehr groß ist, d.h. in ferromagnetischen Materialien (Fe, Co, Ni). Damit kann der gesamte Magnetfluss innerhalb des Eisenjochs gehalten werden.

Idealer Transformator:

- Spulen haben $R_i = 0$
- kein magnetischer Streufluss
- keine Wirbelstromverluste
- keine Ummagnetisierungsverluste (Hysterese-Verluste), d.h. die wechselnde Ausrichtung der Weißschen Bezirke geschieht verlustfrei

Prinzipieller Aufbau des Transformators



Wegen $R_1 = 0$ ist die Spannung auf der Primärseite U_1 gegeben durch

$$|U_1| = n_1 \dot{\Phi}_1 = n_1 \dot{\Phi}$$

Mit $\Phi_1 = \Phi_2 = \Phi$ folgt dann für die Sekundärseite im Leerlauf-Fall

$$R \rightarrow \infty \quad I_2 = 0$$

$$|U_2| = n_2 \dot{\Phi}$$

und damit die **Leerlauf-Spannungs-über- bzw. untersetzung**

$$\frac{|U_2|}{|U_1|} = \frac{n_2}{n_1}$$

Bei dieser Annahme wird der Fluss Φ nur durch den Strom I_1 erzeugt.

Im Belastungsfall (I_2 verschieden von Null) erzeugt I_2 Zusatzfluss, der auch die Primärspule durchsetzt. Primär- und Sekundärseite „reden“ über den Fluss miteinander. In erster Näherung folgt aber schon aus Gründen der Energieerhaltung die **Stromüber- bzw. Stromuntersetzung**

$$\frac{|I_2|}{|I_1|} \approx \frac{n_1}{n_2}$$

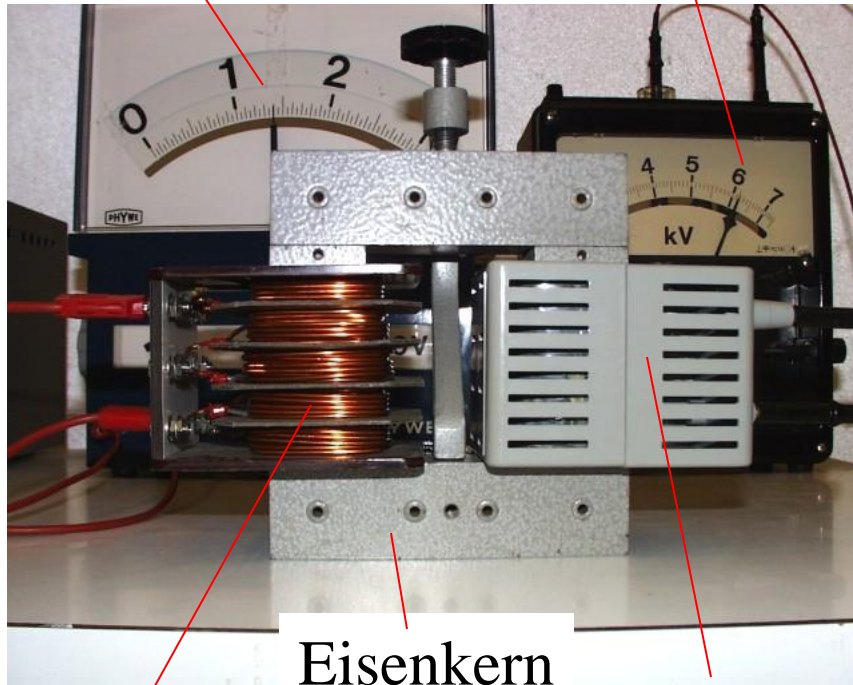
Anwendungen:

Spannungs- und Stromtransformation
Widerstands-(Impedanz)-Anpassung
Galvanische Entkopplung von Stromkreisen

Experiment: *Erzeugung hoher Spannung durch einen Transformator*

$$U_p = 15 \text{ V}$$

$$U_s = 6 \text{ kV}$$

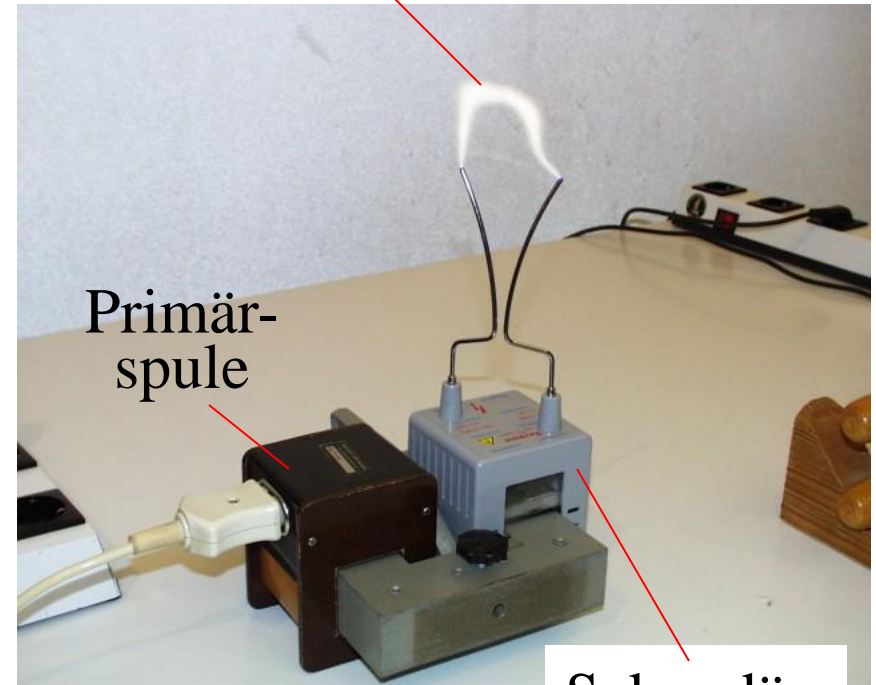


Primär-
spule

Eisenkern

Sekundär-
spule

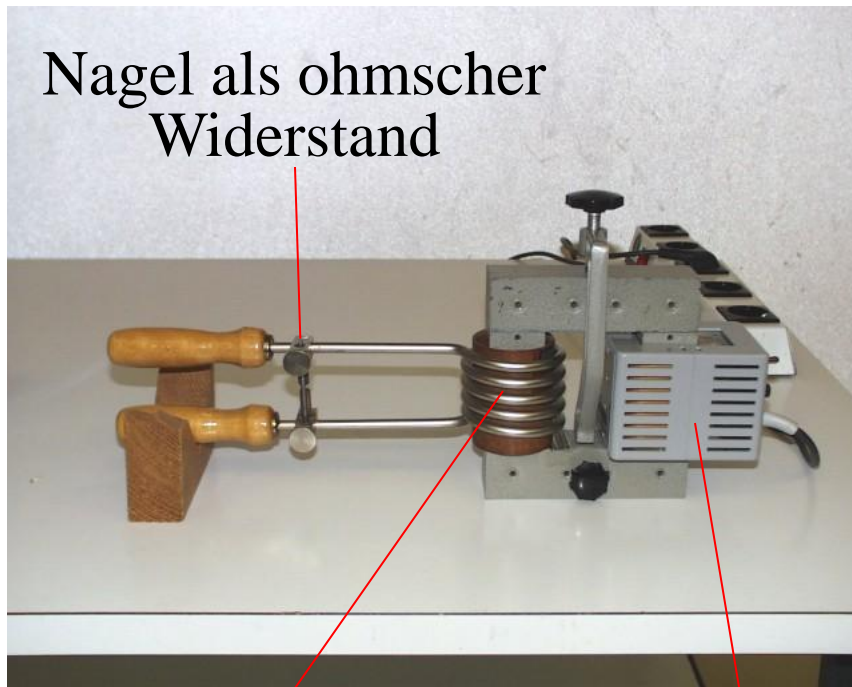
Lichtbogen



Primär-
spule

Sekundär-
spule

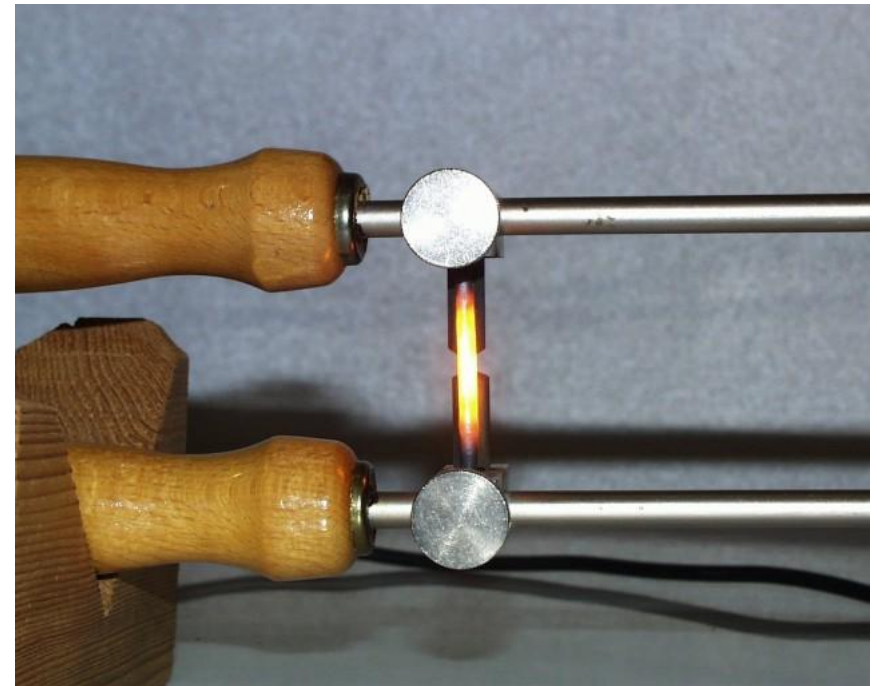
Experiment: Erzeugung hoher Ströme durch einen Transformator



Nagel als ohmscher
Widerstand

Sekundär-
spule

Primär-
spule

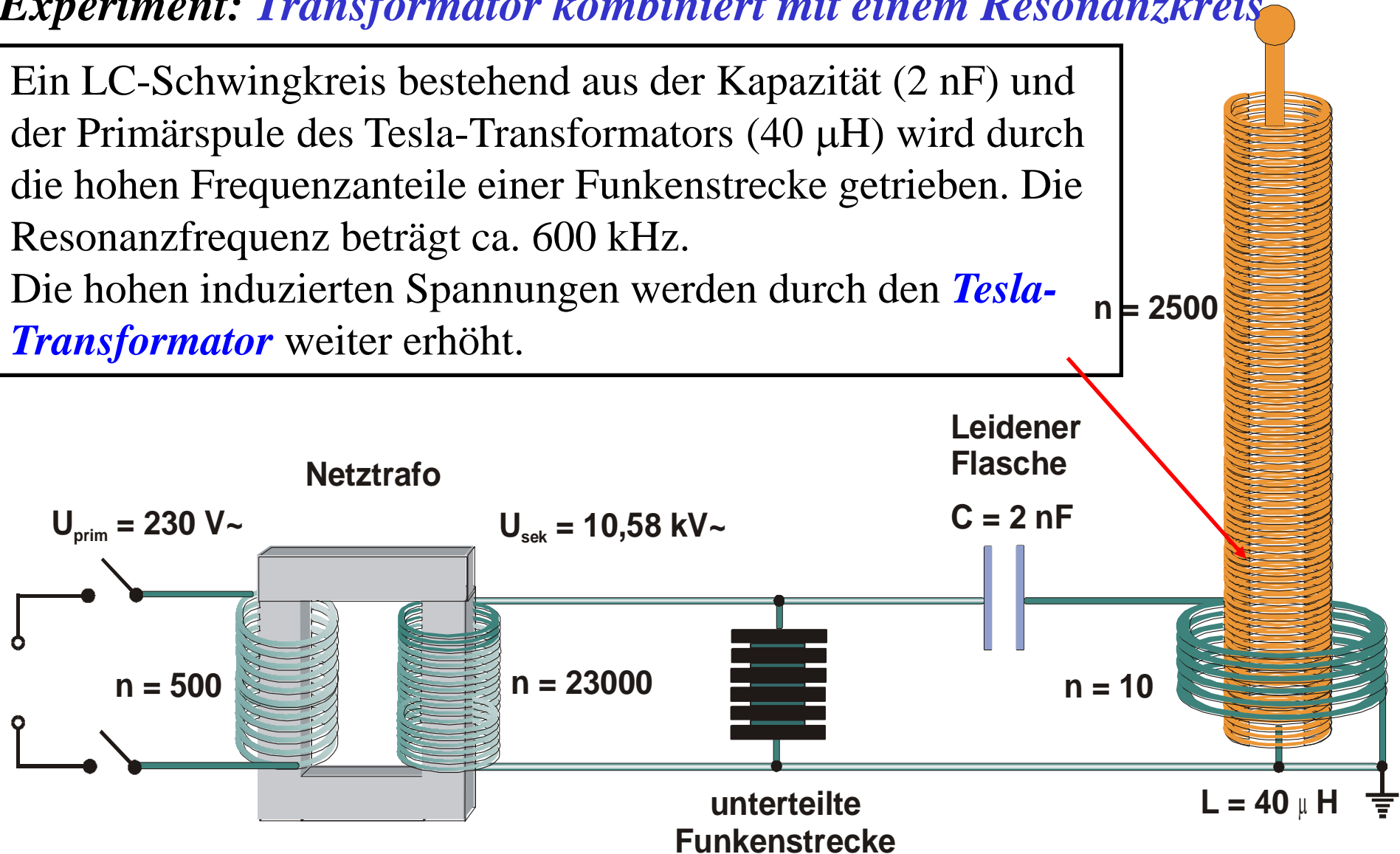


Durch den hohen Strom beginnt
der Nagel zu glühen bis er durch-
brennt:

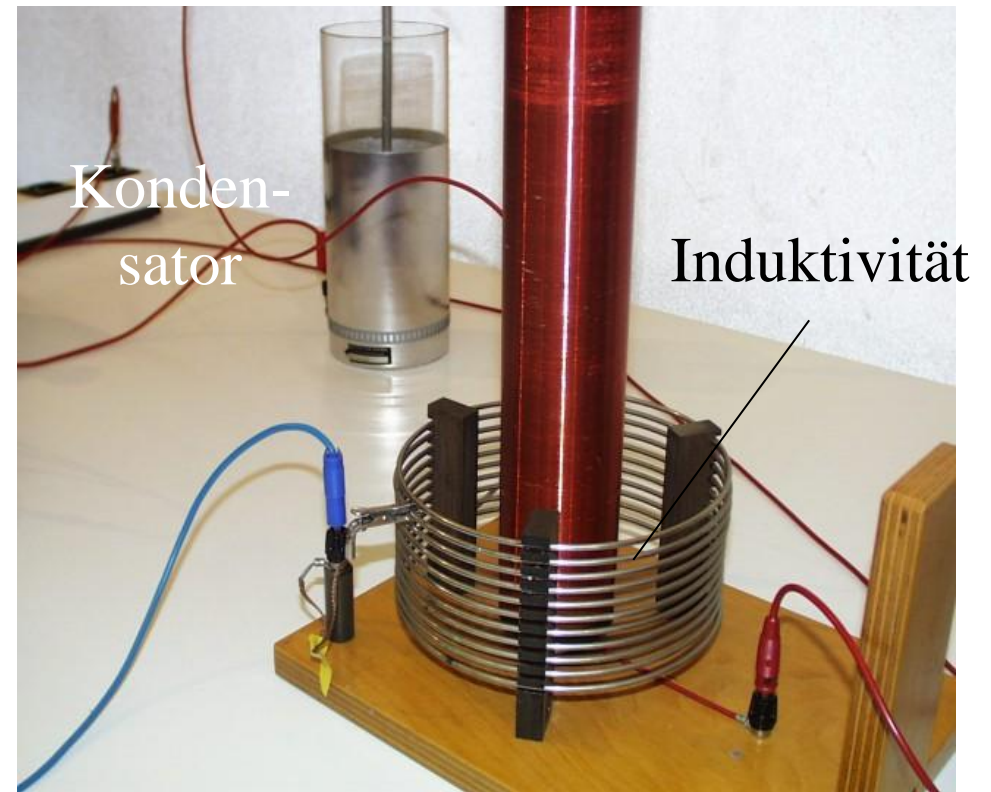
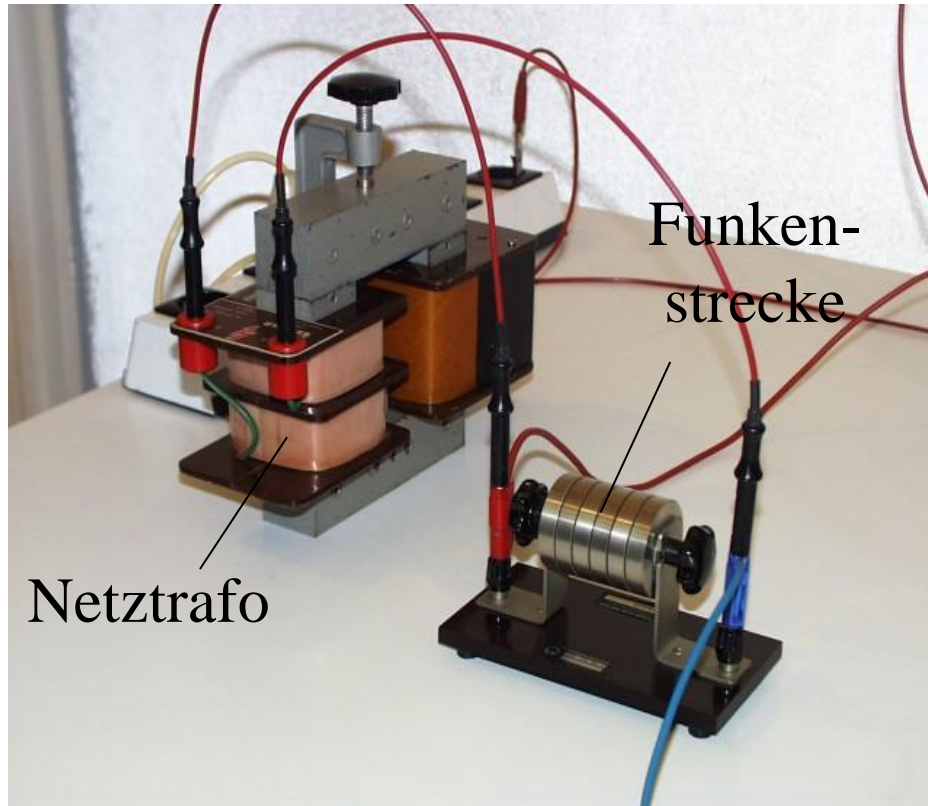
Prinzip der Schmelzsicherung

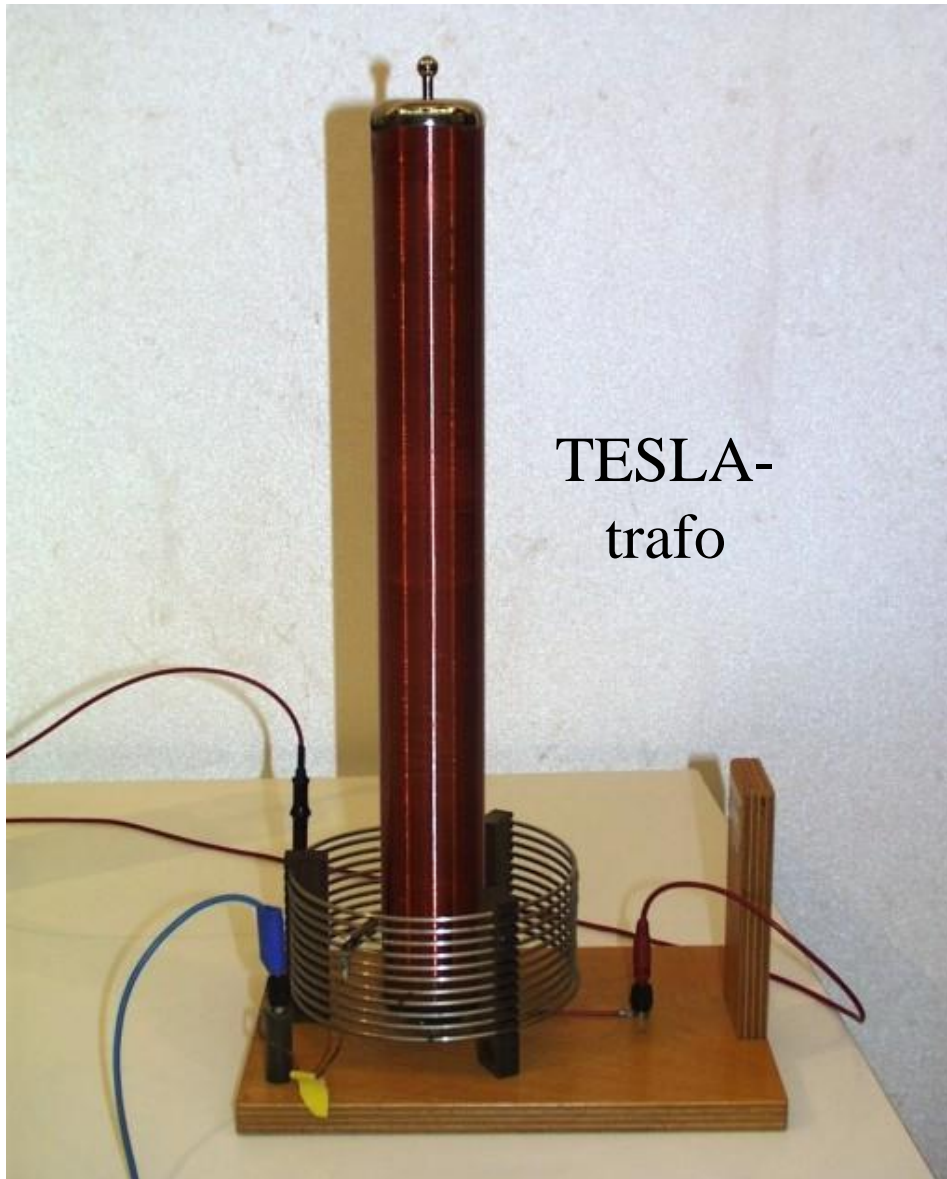
Experiment: Transformator kombiniert mit einem Resonanzkreis

Ein LC-Schwingkreis bestehend aus der Kapazität (2 nF) und der Primärspule des Tesla-Transformators ($40 \mu\text{H}$) wird durch die hohen Frequenzanteile einer Funkenstrecke getrieben. Die Resonanzfrequenz beträgt ca. 600 kHz. Die hohen induzierten Spannungen werden durch den *Tesla-Transformator* weiter erhöht.



Die Einzelkomponenten des TELSA-Transformators





Zeitlich veränderliche Felder / Elektrodynamik

$$\frac{\partial}{\partial t} \neq 0$$

elektrisches Feld E:

$$\operatorname{div} \vec{E}(\vec{r}) = \frac{\rho(\vec{r})}{\epsilon_0}$$

$$\oiint_{a(V)} \vec{E} d\vec{a} = \frac{Q}{\epsilon_0} = \frac{1}{\epsilon_0} \iiint_{V(a)} \rho(\vec{r}) dV$$

$$\operatorname{rot} \vec{E}(\vec{r}) = 0 \quad \boxed{+ \text{?????}}$$

$$\oint_S \vec{E} d\vec{s} = 0 \quad \boxed{+ \text{?????}}$$



Es gibt ein elektrisches Wirbel-
feld. Ursache ist **die magnetische
Induktion**

magnetisches Feld B:

$$\operatorname{div} \vec{B}(\vec{r}) = 0$$

$$\oiint_{a(V)} \vec{B} d\vec{a} = 0$$

$$\operatorname{rot} \vec{B}(\vec{r}) = \mu_0 \vec{j}(\vec{r}) \quad \boxed{+ \text{?????}}$$

$$\oint_{S(a)} \vec{B} d\vec{s} = \mu_0 I = \mu_0 \iint_{a(S)} \vec{j}(\vec{r}) d\vec{a} \quad \boxed{+ \text{?????}}$$



Es gibt eine weitere Ursache für
Magnetfelder : **der elektrische
Verschiebungsstrom**

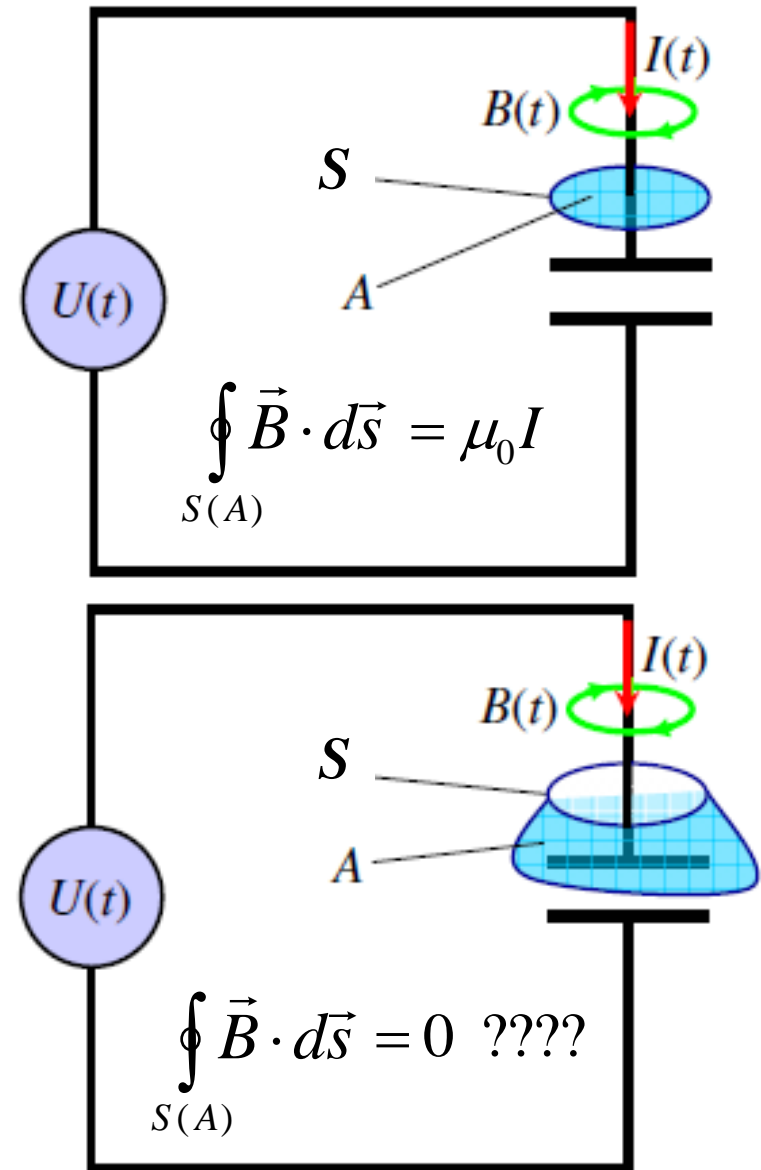
Verschiebungsstrom, endgültige Form der Maxwellgleichungen

Wir betrachten noch einmal das Ampere-sche Gesetz:

$$\oint_{S(A)} \vec{B} \cdot d\vec{s} = \mu_0 \iint_{A(S)} \vec{j} \cdot d\vec{A} = \mu_0 I$$

Die Fläche A kann bei bestehendem Rand der Fläche $S(A)$ prinzipiell beliebig gewählt werden.

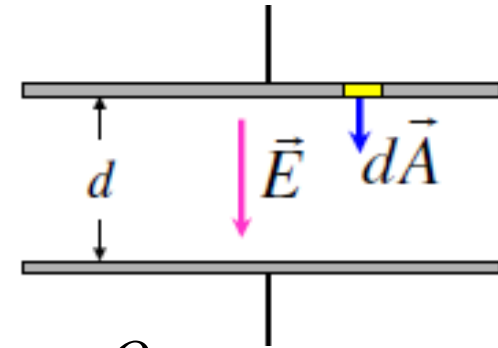
Im rechten Bild erkennt man, dass dann der Leitungsstrom I zwar die obere Fläche durchsetzt, nicht aber die Fläche im unteren Bild. Der Integralausdruck (Linienintegral über S) ist aber definitiv nicht Null.



Betrachtung des Kondensators:

Der Leitungsstrom I , der in den Zuleitungen zum Kondensator frei fließen kann, wird durch den Kondensator unterbrochen, da die durch den Strom bewegten Ladungen Q auf den Platten des Kondensators verbleiben (bei Aufladung) bzw. Abfließen (bei Entladung).

Zwischen der Änderung von Q auf den Platten und dem Leitungsstrom I besteht aber ein eindeutiger Zusammenhang. Dazu betrachten den Kondensator näher: Wir benutzen dazu den Zusammenhang zwischen Ladung Q und E -Feld:



$$\oiint_A \vec{E} \cdot d\vec{A} = \frac{Q}{\varepsilon_0}$$

im Fall des Plattenkondensator gilt dann einfach: $Q = \varepsilon_0 E \cdot A$

Die zeitliche Ableitung der gesamten Ladung Q des Kondensators als Funktion der Zeit ist gerade gleich dem Leitungsstrom I und es folgt

$$\frac{\partial Q}{\partial t} = \varepsilon_0 \frac{\partial}{\partial t} \oiint_A \vec{E} \cdot d\vec{A} = I$$

Diese Aussage kann verallgemeinert werden. Die zeitliche Änderung eines elektrischen Flusses ist einem Stromfluss I_v äquivalent:

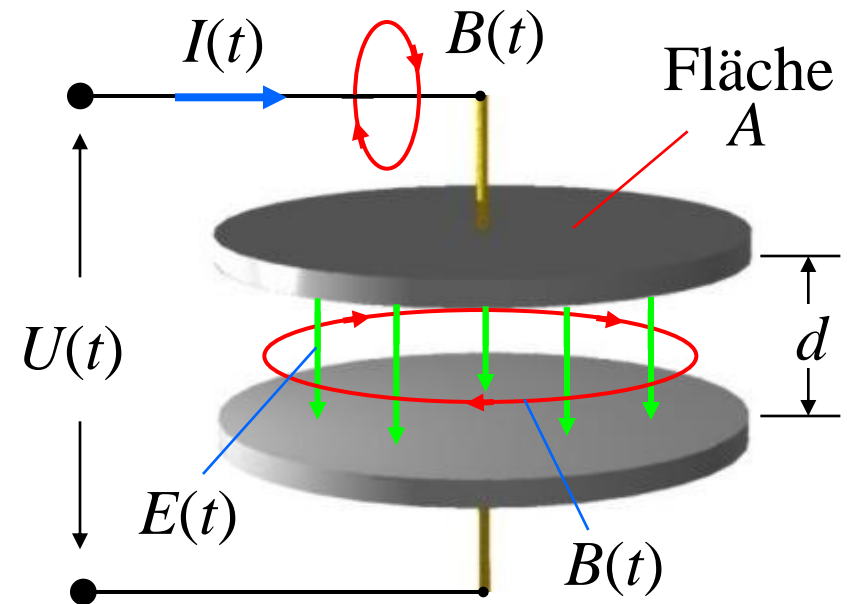
$$\frac{\partial Q}{\partial t} = \varepsilon_0 \frac{\partial}{\partial t} \iint_A \vec{E} \cdot d\vec{A} = I_v$$

I_v heißt **Verschiebungsstrom**

Magnetfelder werden können also neben Strömen auch von Verschiebungsströmen, d.h. zeitlich sich ändernden elektrischen Flüssen erzeugt werden:

$$\oint_{S(A)} \vec{B} \cdot d\vec{s} = \mu_0 (I + I_v)$$

Innerhalb des Kondensators existiert also auch ein Magnetfeld B .



Wir setzen ein und erhalten endgültig

$$\oint_{S(A)} \vec{B} \cdot d\vec{s} = \mu_0 \iint_{A(S)} \vec{j} \cdot d\vec{A} + \mu_0 \varepsilon_0 \frac{\partial}{\partial t} \iint_{A(S)} \vec{E} \cdot d\vec{A}$$

Die integrale Maxwellgleichung kann wieder in die differentielle bzw. lokale Maxwellgleichung überführt werden. Dazu benutzen wir den Satz von Stokes und erhalten:

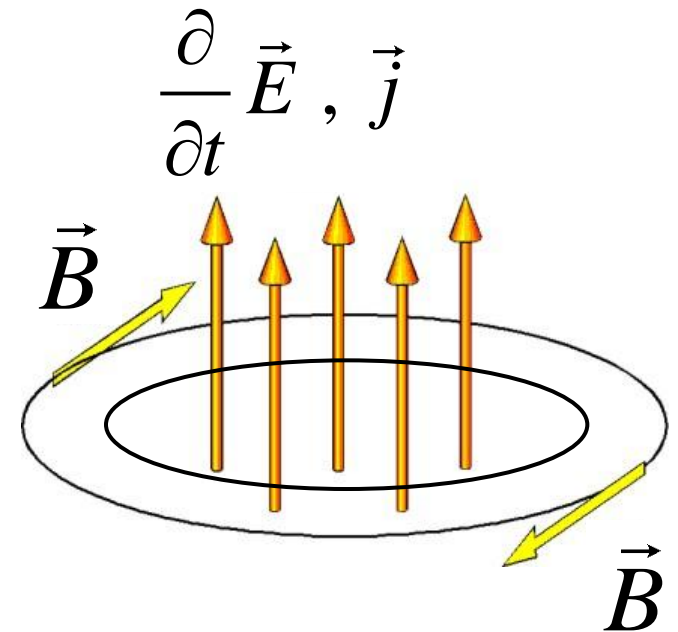
$$\oint_{S(A)} \vec{B} \cdot d\vec{s} = \iint_{A(S)} (\vec{\nabla} \times \vec{B}) \cdot d\vec{A} = \iint_{A(S)} \text{rot} \vec{B} \cdot d\vec{A} = \iint_{A(S)} \left(\mu_0 \vec{j} + \mu_0 \varepsilon_0 \frac{\partial}{\partial t} \vec{E} \right) \cdot d\vec{A}$$

S ist hier wieder die Randkurve der Fläche A .

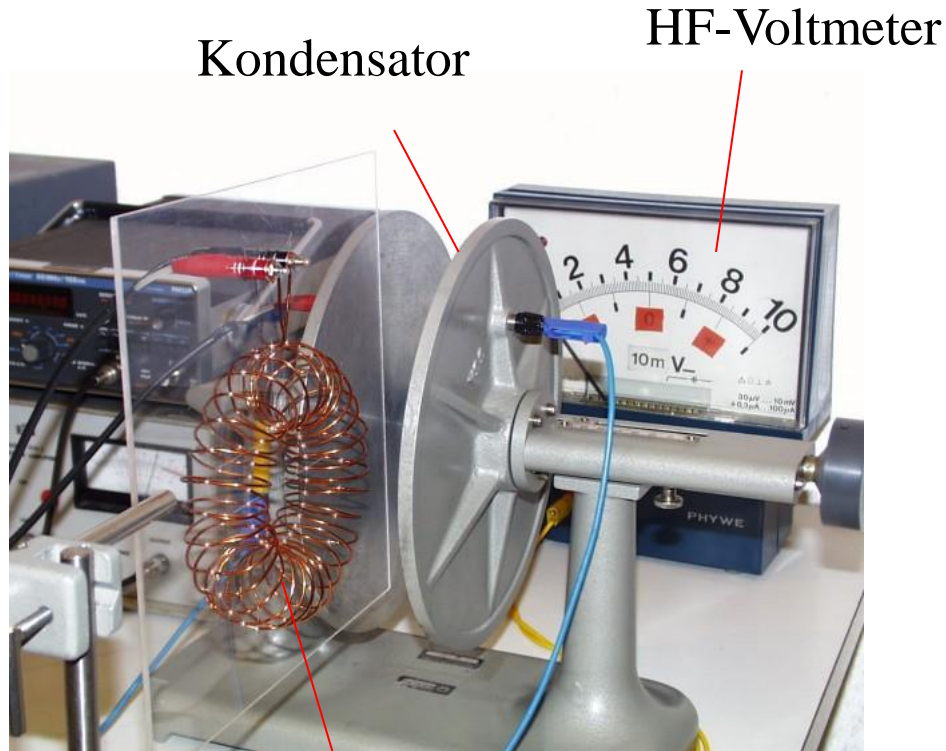
Die Fläche A ist beliebig wählbar, ebenso S , daher müssen auch die Integranden die Gleichung erfüllen:

$$\vec{\nabla} \times \vec{B} = \text{rot} \vec{B} = \mu_0 \vec{j} + \mu_0 \varepsilon_0 \frac{\partial}{\partial t} \vec{E}$$

Dies ist die gesuchte Maxwellsche Gleichung in differentieller Form.

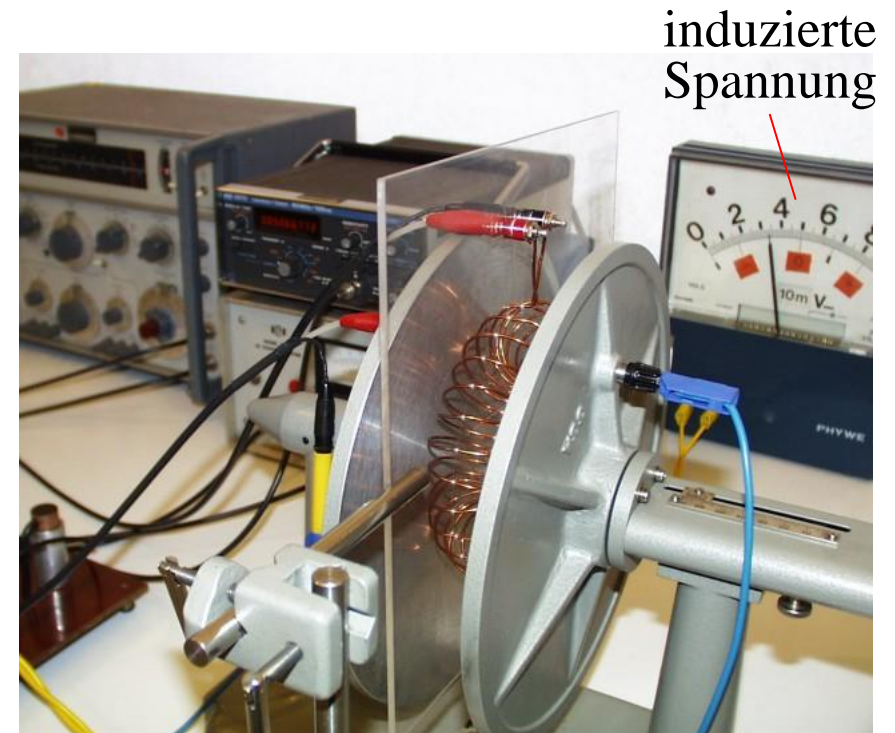


Experiment: *Magnetfeld eines Verschiebungsstroms*



Toroidspule zur Vermessung
der kreisförmigen Magnetfelder

Der Kondensator wird durch hochfrequenten Wechselstrom geladen



Messanordnung

Übersicht über die Maxwellgleichungen im Vakuum inklusive der offiziellen Nummerierung

Integrale Form



Differentielle Form

$$(1) \quad \oiint_{A(V)} \vec{E} \cdot d\vec{A} = \frac{1}{\epsilon_0} \iiint_{V(A)} \rho dV$$

$$\Leftrightarrow \quad \vec{\nabla} \cdot \vec{E} = \operatorname{div} \vec{E} = \frac{\rho}{\epsilon_0}$$

$$(2) \quad \oiint_A \vec{B} \cdot d\vec{A} = 0$$

$$\Leftrightarrow \quad \vec{\nabla} \cdot \vec{B} = \operatorname{div} \vec{B} = 0$$

$$(3) \quad \oint_{S(A)} \vec{E} \cdot d\vec{s} = -\frac{\partial}{\partial t} \iint_{A(S)} \vec{B} \cdot d\vec{A}$$

$$\Leftrightarrow \quad \vec{\nabla} \times \vec{E} = \operatorname{rot} \vec{E} = -\frac{\partial \vec{B}}{\partial t}$$

$$(4) \quad \oint_{S(A)} \vec{B} \cdot d\vec{s} = \mu_0 \iint_{A(S)} \left(\vec{j} + \epsilon_0 \frac{\partial}{\partial t} \vec{E} \right) \cdot d\vec{A} \quad \Leftrightarrow \quad \vec{\nabla} \times \vec{B} = \operatorname{rot} \vec{B} = \mu_0 \left(\vec{j} + \epsilon_0 \frac{\partial}{\partial t} \vec{E} \right)$$

Inhalt der Vorlesung Physik A2 / B2

3. Wärmelehre

Druck und Temperatur: Das ideale Gas

Wärmemenge, spezifische Wärme

Die Hauptsätze der Wärmelehre

4. Elektrizitätslehre, Elektrodynamik

Die Ladung und elektrostatische Felder

- SEMESTERENDE -

Elektrischer Strom

Magnetische Felder und Magnetostatik

Zeitlich veränderliche Felder, Elektrodynamik

Wechselstromnetzwerke

Die Maxwellschen Gleichungen

Elektromagnetische Wellen und Strahlung

Relativität der Felder – Relativitätstheorie

Wechselstromnetzwerke

Wechselspannungen und **Wechselströme** haben die Form

$$U(t) = U_0 \cos(\omega t + \psi),$$

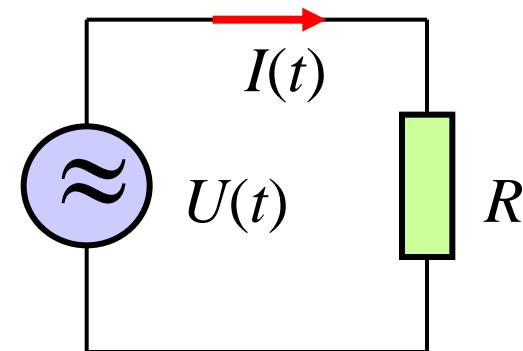
$$I(t) = I_0 \cos(\omega t + \varphi)$$

Dabei sind ψ und φ Startphasen bezüglich $t = 0$. $\omega = 2\pi f$ ist die Kreisfrequenz der Wechselgröße, f seine Frequenz.

Wechselspannungen haben gegenüber Gleichspannungen erhebliche Vorteile. Zunächst entstehen sie quasi automatisch bei der Erzeugung durch Generatoren (Induktion). Über Transformatoren kann man Wechselspannungen und –ströme herauf- und herunter transformieren.

Wir wollen zunächst die Verhältnisse beim Ohmschen Widerstand R betrachten.

Ohmscher Widerstand R



Strom und Spannung sind in Phase.

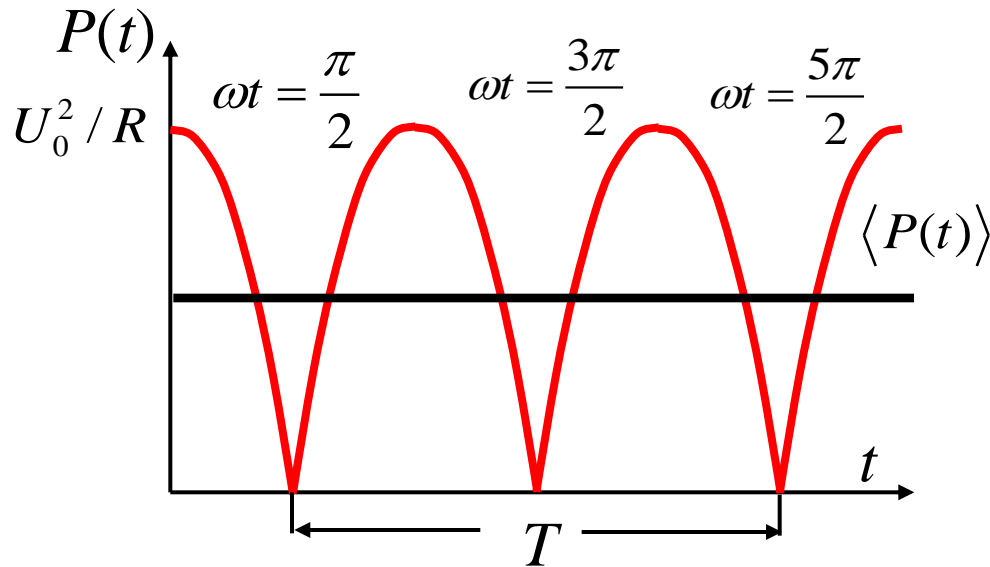
Aus $U(t) = U_0 \cos(\omega t)$ folgt sofort

$$I(t) = \frac{U(t)}{R} = \frac{U_0}{R} \cos(\omega t)$$

$$I(t) = I_0 \cos(\omega t)$$

Wir können auf einfache Weise sofort die in Wärme umgesetzte elektrische Leistung P angeben

$$P(t) = U(t)I(t) = \frac{U_0^2}{R} \cos^2(\omega t)$$



Die Leistung $P(t)$ ist also zeitabhängig. Wir berechnen daher den zeitlichen Mittelwert durch Integration über die Periodendauer T

$$\begin{aligned} \langle P(t) \rangle &= \frac{1}{T} \int_0^T P(t) dt = \frac{U_0^2}{TR} \int_0^T \cos^2 \omega t dt \\ &= \frac{4U_0^2}{TR} \int_0^{T/4} \cos^2 \omega t dt \end{aligned}$$

Wir erhalten schließlich (Übungsaufgabe):

$$\langle P(t) \rangle = \frac{1}{2} \frac{U_0^2}{R} = \frac{1}{2} P_{\max}$$

Im zeitlichen Mittel wird wirkt also nur die Hälfte der maximalen Verlustleistung. Das zeitliche Mittel wird deshalb auch als **Wirkleistung** bezeichnet.

Im Fall der Gleichspannung gilt natürlich

$$\langle P(t) \rangle = \frac{U_0^2}{R}$$

Für die **Wirkleistung** gilt also:

$$\langle P(t) \rangle_{=} = \frac{U_0^2}{R} \quad \langle P(t) \rangle_{\approx} = \frac{1}{2} \frac{U_0^2}{R}$$

Man definiert daher eine „effektive Spannung“ und „effektiven Strom“, die an einem ohmschen Widerstand dieselbe mittlere Leistung bewirken wie eine gleichgroße Gleichspannung.

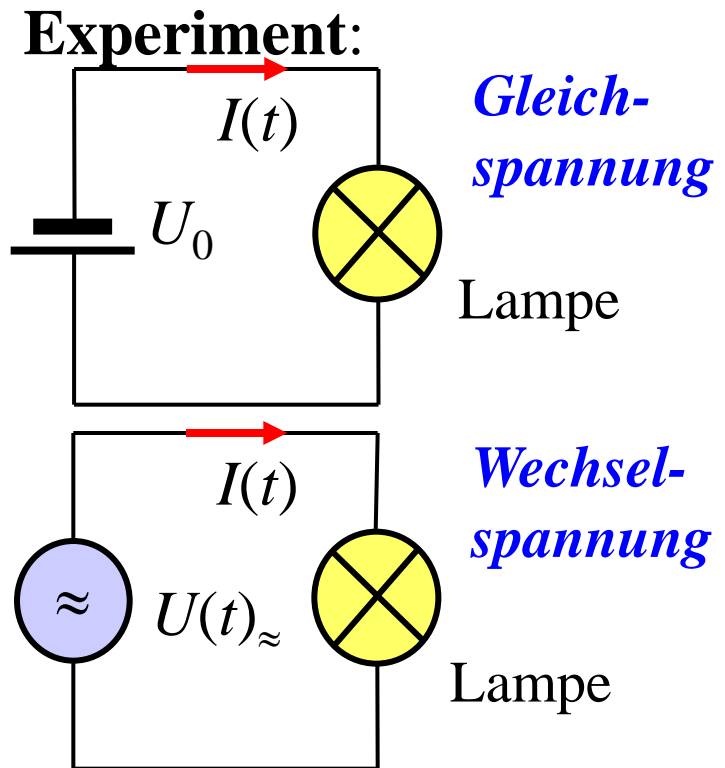
$$U_{eff} = \frac{U_0}{\sqrt{2}}, \quad I_{eff} = \frac{I_0}{\sqrt{2}}$$

Man rechnet dann formal wie bei der Gleichspannung und erhält

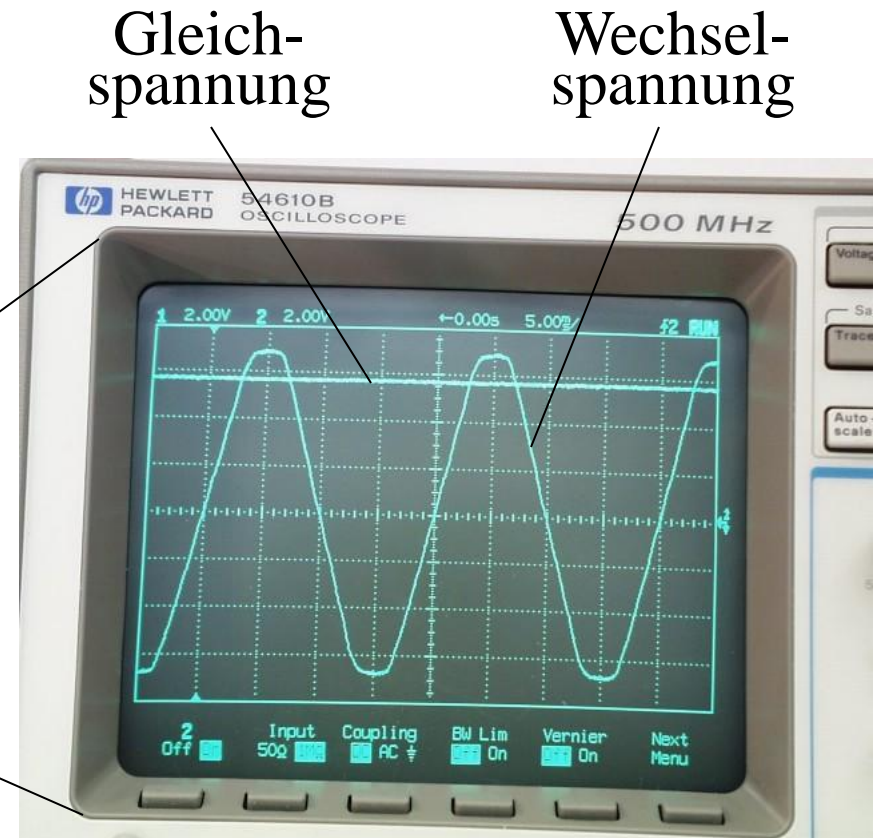
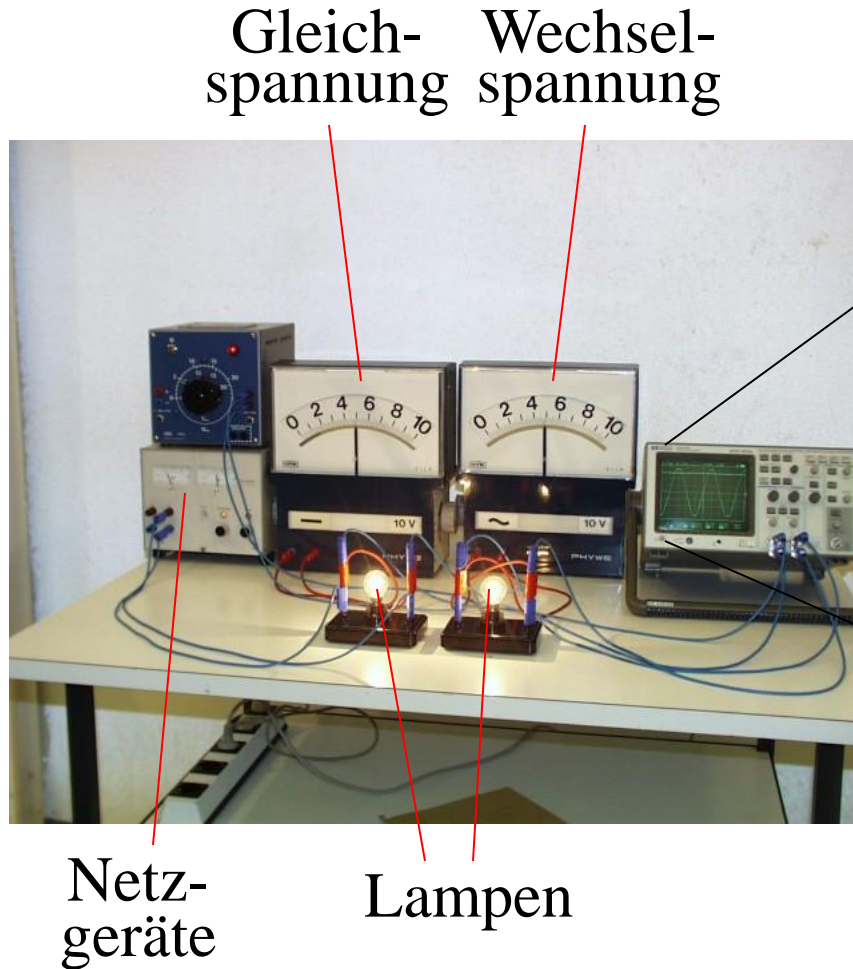
$$\langle P(t) \rangle_{\approx} = U_{eff} \cdot I_{eff} = \frac{U_0}{\sqrt{2}} \frac{I_0}{\sqrt{2}} = \frac{U_0^2}{2R}$$

Beispiel: Unsere Haushaltsversorgung hat eine Effektivspannung von $U_{eff} = 230 \text{ V}$. Die Spitzenspannung ist gegeben durch

$$U_0 = \sqrt{2} U_{eff} = \sqrt{2} \cdot 230 \text{ V} = 325 \text{ V (!)}$$



Experiment: Effektive Spannung



Die baugleichen Lampen werden auf gleiche Helligkeit eingestellt

Gleiche Helligkeit = gleiche mittlere Leistung = gleiche Wirkleistung